

بررسی پایداری طولی خودروهای لوائی حامل سیال

حمیدرضا بهرامپوری
کارشناس ارشد

دانشکده مهندسی مکانیک، دانشگاه علم و صنعت ایران

ابراهیم اسماعیل زاده
استاد

دانشکده مهندسی مکانیک، دانشگاه صنعتی شریف

نوید نیک صفت
کارشناس ارشد

دانشکده مهندسی مکانیک، دانشگاه صنعتی اصفهان

چکیده

امروزه مدلسازی و بآفتن و شبیه‌سازی گامبیوترا (Simulation) در زمینه مهندسی خودرو گسترش روزافزونی یافته است. خودروهای لوایی (Articulated Vehicles) به ویژه حامل سیال (Ariculated Vehicles) به علت وظیفه مهمی که در حمل مواد شیمیایی خطرناک و سوختی به عهده دارند، از اهمیت خاصی برخوردارند. از آنجا که اینمی رانندگی چنین خودروهایی به علت وجود مسائلی چون ناپایداری عرضی (Yaw Swing) و رقص ماری (Jack Knifing) (Roll Unstability) و نیز بايداری های طولی نظری قیچی کردن (Rollover) در خطر است، مطالعه روش های جلوگیری از این مشکلات مورد توجه بسیاری از محققین قرار گرفته است. در تحقیقات گذشته همین مؤلفین، نسبت صفحات عرضی (Baffles) در مخزن خودروهای لوایی حامل سیال به عنوان یک راه حل جدید و مفید برای افزایش آستانه واژگونی آنها مطالعه شد. در این پژوهش سعی بر این است تا ناپایداری های طولی خودرو که آمار رخداد آن بیشتر است، بررسی گردد. ناپایداری عرضی به طور عمده معلول سرعت زیاد در سریع (Turning) و رانندگی ابتدایی و مانورهای تغییر مسیر و سبقت گیری (Lane Change) نامناسب بوده و حال آن که چه بسیار رانندگان، ناخودآگاه وسیله نقلیه خود را قیچی می کنند. بدینسان ایندا سیال مستحکم در مخزن مطالعه و با استفاده از معادلات دینامیکی خودروهای صلب و توسعه طرح های بررسی شده توسط EL-Gindy, Mallikarjunaraao، طرح خودروهای لوایی حاصل سیال استخراج گردیده اند. سپس معادلات دیفرانسیل کوپله حرکت تحلیل و نتایج به صورت نمودارهای قابل مقایسه، آرائه شده است.

Directional Stability Analysis of Articulated Tank Vehicles

E. Esmailzadeh
Professor

Mechanical Engineering Sharif
University of Technology

H.R. Bahrampouri
Graduate Student

Mechanical Engineering Department
Iran University of science and Technology

N. Niksefat
Graduate Student
Mechanical Engineering Department
Isfahan University of Technology

Abstract

Mathematical modelling and computer simulations have been frequently used in the dynamic and stability analysis of road vehicles to assess their ride

and handling performances. Articulated liquid cargo vehicles transporting inflammable fuels and dangerous chemical products require special consideration when they are travelling on urban roads or cruising on highways. The handling and road safety of these vehicles may adversely effected when negotiating sharp turns and when travelling on slippery roads. The result may be lateral instabilities or even the complete roll - over of the tanker vehicles. Moreover , directional instabilities of these vehicles may also introduce an excessive yaw swing or may initiate jack - knifing of the articulated tanker trucks. To overcome instabilities of these tanker vehicles, installation of lateral baffles in the form of separating walls in the tanker have been suggested by the authors in previous articles. It has been shown that these design initiatives have improved the roll - over threshold, however, further lateral instabilities may occur when the vehicles are travelling round a bend at high speed or performing an evasive lane change maneuver. In this study, initially the sloshing problem of fluids inside the container is investigated and the governing coupled differential equations of motion for the dynamics of both the articulated vehicle and the liquid cargo are derived. Using various conventional design configurations adopted by other investigators, an improved model for these special articulated vehicles is presented.

۱- مقدمه

مخزن می تواند آستانه واژگونی خودرو را به مقدار چشمگیری کاهش دهد [۵]. در مطالعات صورت پذیرفته، بررسی های چندانی بر روی اثرات حرکت طولی سیال و همچنین اثر آن بر روی سیستم خودرو انجام نگرفته، که در این مطالعه به آن پرداخته شده است. در خودروهای لولایی سنگین (Articulated Vehicles)، نایابداری های طولی عبارتند از:

۱- رقص ماری (Yaw Swing) واحد حمل بار که ناشی از قفل کردن چرخ های تریلر به هنگام ترمزگیری و یک مانور کوچک است.

۲- قیچی کردن واحد کشنده (Jack Knifing) که هنگام ترمزگیری شدید سریع اتفاق می افتد. این پدیده بسیار خطرناک و شایع بوده و اغلب اوقات منجر به بریدن پین اتصالی کشنده و تریلر در چرخ پنجم (Fifth Wheel) می شود. بدیهی است این امر نه تنها می تواند برای خودرو حادثه آفرین باشد، بلکه با خروج تریلر از مسیر خود و وارد شدن به مسیر مقابل می تواند برای سایر خودروها نیز خطرآفرین باشد. در خودروهای حامل سیال، در صورتی که راننده از تجربه کافی برخوردار نباشد، بروز چنین حوادثی اجتناب ناپذیر است.

در ایران با توجه به وضعیت جغرافیای آن و وجود راه های نه چندان هموار که خودروهای حامل سیال ناچار به عبور از چنین راههایی می باشند، مدنظر داشتن پایداری طولی خودروهای حامل سیال از اهمیت خاصی

حمل مواد مایع در مخازن حمل، همراه با مشکلات متعددی روبرو بوده است. جابجایی و تلاطم سیال در مخزن و ایجاد نیروهای دینامیکی و استاتیکی ناشی از آن، وسیله حمل آن را تحت تأثیر قرار داده و می تواند حتی موجب ناپایداری آن گردد. این موضوع به خصوص در خودروهایی که مواد سوختی یا شیمیایی خطرناکی را حمل می کنند، دارای اهمیت خاصی می باشد.

هنگامی که مخزن حمل کاملاً پر نمی باشد، مایع درون مخزن قادر به جابجایی و تلاطم بوده، و چنانچه تعداد موانع حرکتی مانند صفحات مشبک یا پیوسته در مخزن کمتر باشد مایع دارای آزادی بیشتری بوده و می تواند ممانها و نیروهای شدیدتری بر مخزن و خودرو تحمل نماید. ایجاد ممانها و نیروهای عرضی ناشی از تلاطم سیال می تواند موجب واژگونی عرضی خودرو گردد. از طرف دیگر، ایجاد ممانها و نیروهای طولی در مخزن عامل ایجاد ناپایداری طولی شده و همچنین مؤثر در عملکرد سیستم ترمز و هدایت خودرو می باشد.

تاکنون مطالعات گوناگونی در زمینه پایداری عرضی خودروهای حامل سیال انجام پذیرفته است [۱-۵]. Strandberg تأثیر نصب صفحات طولی در مخزن، بر روی پایداری عرضی خودرو، با در نظر گرفتن نیروهای دینامیکی ناشی از سیال بر روی دینامیک خودرو را مورد مطالعه قرار داد [۶]. همچنین Sankar و همکاران رفتار خودروهای حامل سیال را با آزمایش های تجربی بررسی نمودند، و نشان دادند که جابجایی سیال در

مستلزم صرف هزینه‌های محاسباتی زیادی می‌باشد. برای پرهیز از این امر، در اینجا از یک مدل دینامیکی حرکت سیال استفاده شده است که در این مدل فرض گردیده، سطح آزاد سیال در هر لحظه از گرادیان شتاب اعمالی پیروی می‌نماید.

هنگام حرکت خودرو در یک بیچ، در صورتی که ابعاد مخزن نسبت به شعاع پیچ کوچک باشد، می‌توان شتاب اعمالی به تمام مایع را یکسان فرض نمود [۷]. در آن فرض شده که شتاب اعمالی به خودرو تحت عبور از یک پیچ همراه با عمل ترمز به طور یکنواخت و پیوسته تغییر نموده و با صرف نظر از لزجت سیال فرض شده که سطح آزاد سیال در هر لحظه هموار بوده و از گرادیان شتاب اعمالی تبعیت می‌نماید. همچنین از تلاطم و نوسانات سطحی سیال در مقایسه با حجم کلی سیال چشم پوشی می‌شود. با توجه به فرضیات انجام شده برای سطح آزاد سیال می‌توان نوشت:

$$\bar{a}_t^k = -\nabla \psi^k(x, y, z) = -\nabla(ax + by + cz + d) \quad (1)$$

با فرضیات انجام شده جابجایی و حرکت سیال در مخزن بستگی به شتاب اعمالی به بدنه مخزن و نیز به شکل و ابعاد مخزن خواهد داشت.

با صرف نظر نمودن از حرکات (Roll, Pitch) در محمل مخزن در مقایسه با حرکت زاویه‌ای yaw، برای شتاب سیال خواهیم داشت:

$$\bar{a}_t^k = \bar{a}_s + \bar{a}_{ls} \quad (2)$$

$$+ (-\omega_s^2 Y_{eg}^k + X_{lg}^k + \dot{Y}_{lg}^k + 2\omega_s X_{lg}^k) \bar{j} + \ddot{Z}_{lg}^k \bar{K}$$

$$\bar{a}_{ls}^k = (-\omega_s^2 X_{lg}^k - \omega_s Y_{lg}^k - 2\omega_s \dot{Y}_{lg}^k + \dot{X}_{lg}^k) \bar{i} \quad (3)$$

براساس معادلات (۱) تا (۳) و معادله محدودیت هندسی زیر موقعیت مرکز جرم سیال در هر لحظه قابل محاسبه می‌باشد:

$$V_I^k = \int_{Z=t(x,y)}^{Z=-\frac{a}{c}x-\frac{b}{c}y-\frac{d}{c}} \int_{y=A}^{y=0} \int_{x=0}^{x=L^k} dx dy dz \quad (4)$$

که در معادله فوق آیینه کننده سطح هندسی مخزن می‌باشد. در نتیجه نیروها و ممانهای ناشی از حرکت سیال به قرار زیر خواهد بود:

برخوردار است. در سرعت‌های بالا امکان بروز ناپایداری عرضی یا واژگونی خودرو به مقدار زیادی تشدید می‌گردد. در حالی که ناپایداری صفحه‌ای می‌تواند در سرعت‌های پایین در شرایطی همچون لغزندگی بودن سطح جاده به آسانی بروز نماید که ناهمواری جاده حتی می‌تواند موجب تشدید آن گردد. مقاوم نمودن خودروهای حامل سیال در برابر ناپایداری صفحه‌ای یا طولی می‌تواند خسارات ناشی از چنین حوادثی را به حداقل ممکن رساند.

جهت بهبود پایداری اینگونه خودروها، صفحات عرضی و طولی می‌تواند برای نصب در داخل مخزن پیشنهاد گردد. استفاده از صفحات عرضی مشبك و غیر مشبك در داخل مخزن، در خودروهای امروزی کاربرد داشته، ولی استفاده از صفحات طولی به علت وجود مشکلات فنی، از سوی سازندگان مورد قبول نمی‌باشد. صفحات عرضی در مخزن می‌توانند تلاطم و نوسان سیال در مخزن را کاهش داده و از جابجایی طولی سیال به مقدار زیادی بکاهند، در حالی که اثر چندانی بر روی جابجایی عرضی سیال در مخزن ندارند. از طرف دیگر به علت اینکه مخازن جاده‌ای حمل سوخت و سیال دارای نسبت طول به قطر بزرگی هستند، نیروهای دینامیکی ایجاد شده به علت ارتعاش طولی سیال به مرابت از نیروهای ایجاد شده عرضی بیشتر بوده که این موارد نیاز به مطالعه بر روی اثر صفحات عرضی بر روی جابجایی طولی و همچنین بر روی پایداری صفحه‌ای خودرو را روشن می‌نماید؛ که تحلیل آن، هدف این تحقیق و بررسی می‌باشد.

در این مطالعه با مدلسازی ریاضی دینامیک خودرو و جابجایی سیال در مخزن، رفتار طولی یا صفحه‌ای اینگونه خودروها شبیه‌سازی گردیده و اثرات صفحات عرضی بر روی پایداری طولی خودرو مورد بحث قرار گرفته است.

۲- مدل دینامیکی جابجایی سیال

جهت بررسی رفتار خودروی حامل سیال بايد اثرات جابجایی و نیروهای ناشی از سیال مدلسازی گردد. نیروها و ممانهای ناشی از تلاطم سیال در مخزن به طور مستقیم در تعیین رفتار خودرو مؤثر می‌باشد. محاسبه این نیروها و ممانها در حالت کلی از حل معادلات ناپایداری استوکس (Navier-Stokes) حاصل می‌گردد. این روش به ویژه در حالت سه بعدی، بسیار پیچیده و

جرم‌های تریلر و کشنده استفاده شده است (شکل ۲). از آنجایی که تریلر و کشنده در چرخ پنجم به هم متصل هستند، می‌توان معادلات در مختصات متصل به تریلر را بر اساس مختصات بر روی کشنده بیان نمود. همچنین در این مدلسازی فرض گردیده که سیستم تعليق خودرو به مقدار کافی صلب بوده تا نیروهای اعمالی از طریق سطح جاده به چرخها، به طور مستقیم به جرم‌های فنربندی شده کشنده و تریلر منتقل شوند.

براساس فرضیات صورت گرفته و با توجه به شکل (۲) معادلات حرکت عبارتند از:

۱ - معادلات نیرو برای واحد کشنده و تریلر

$$m_s \ddot{a}_s + m_a \ddot{a}_a + \sum_{i=1}^k m_i \ddot{a}_i = \sum_{j=1}^2 [-F_{xij} \cos(\delta) - F_{yij} \sin(\delta) - F_{zij} \sum_{i=3}^4 F_{xij} \cos(T)] \quad (8)$$

$$m_s \ddot{a}_s \bar{J} + m_a \ddot{a}_a \bar{J} + \sum_{i=1}^k m_i \ddot{a}_i \bar{J} = \sum_{j=1}^2 [-F_{xij} \sin(\delta) + F_{yij} + \sum_{i=3}^4 F_{xij} \sin(T)] \quad (9)$$

۲ - معادلات ممان برای واحد کشنده و تریلر

$$I_s \omega_s + x_t m_t \ddot{a} \bar{J} = \sum_{i=1}^2 \sum_{j=1}^2 [-F_{xij} (b_1 + x_t) \sin(\delta) + F_{yij} (b_1 + x_t) \cos(\delta) + F_{zij} (x_t - b_2)] \\ - (F_{y11} - F_{y12}) d_1 \sin(\delta) - (F_{x11} - F_{x12}) d_1 \cos(\delta) - (F_{x21} - F_{x22}) d_2 \quad (10)$$

$$(I_s + \sum_{i=1}^k I_i) \dot{\omega}_s - \sum_{i=1}^k [m_i x_i \ddot{a}_i \bar{j} - m_i Y_{ig}^k a_i \bar{i}] + m_t x_t \ddot{a} \bar{i} \sin(T) + m_t x_t \ddot{a} \bar{j} \cos(T) \\ - \sum_{i=3}^4 (F_{xii} - F_{xii}) d_3 + \sum_{j=1}^2 [-F_{yij} b_3 - F_{yij} b_4 + x_s \sin(T) (-F_{yij} \sin(\delta) - F_{xij} \cos(\delta) - F_{zij} \\ + x_s \cos(T) (F_{yij} \cos(\delta) - F_{xij} \sin(\delta) + F_{y2j})] \quad (11)$$

که مقادیر a_s, a_a, a_b, T در معادلات فوق برابرند با:

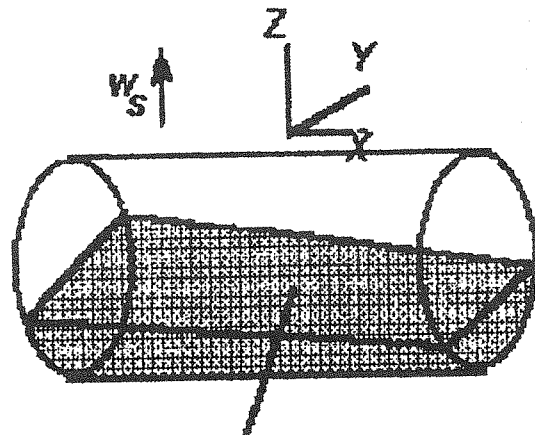
$$T = T_0 + \int_0^t (\omega_s - \omega_t) dt \quad (12)$$

$$\bar{F}_I = \sum_{k=1}^n \bar{a}_k^k \cdot \bar{m} \quad (5)$$

$$M_I(x) = \sum_{k=1}^n m_k^k [Z_{lg}^k a_k^k \cdot \bar{J} + Y_{lg}^k a_k^k \cdot \bar{k}] \quad (6)$$

$$M_I(x) = \sum_{k=1}^n m_k^k [X_{lg}^k a_k^k \cdot \bar{i} + Y_{lg}^k a_k^k \cdot \bar{J}] \quad (7)$$

البته باید گفت ارتفاع سطح مایع (Fill Level) از پارامترهای مهم و تعیین کننده در اندازه گیری ممان‌های واژگونی و نیروهای منتقلی به مخزن بوده و با افزایش ارتفاع سطح مایع تا حدود ۷/۱۰، مینیمم ممان واژگونی کاهش محسوسی می‌یابد. به همین دلیل باستی ارتفاع تراز مایع برای هر شکل مخزن بهینه شود.



شکل (۱) دستگاه مختصات روی مخزن خودروی لو لاوی

۳- مدل ریاضی خودروی حامل سیال

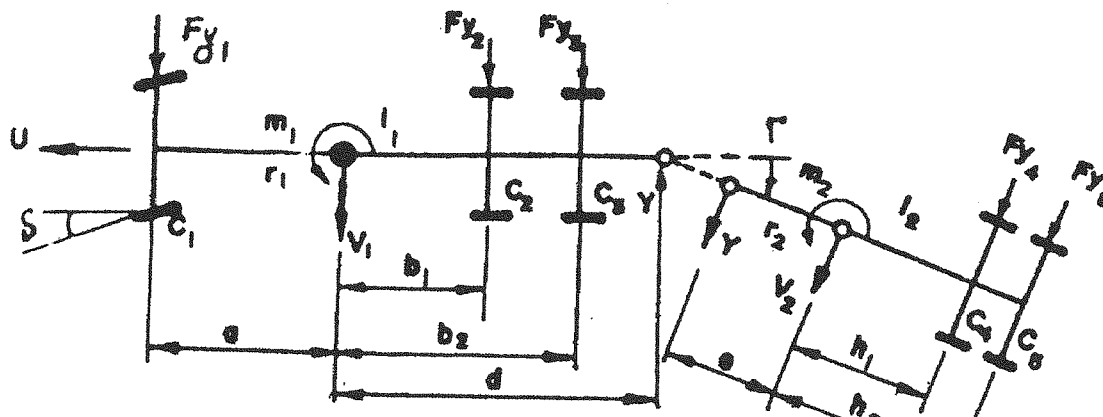
معادلات حرکت خودرو براساس تعمیم و توسعه مدل‌های موجود [۸-۹]، برای یک خودروی لو لاوی حامل سیال استخراج گردیده‌اند. در این مدل خودرو در صفحه جاده تحلیل شده و از اثرات مستقیم تعليق صرف نظر شده و خودرو صلب فرض گردیده و معادلات برای شبیه‌سازی رفتار یک خودروی لو لاوی حامل سیال در عبور از پیچ همراه با عمل ترمزگیری نوشته شده است. برای نوشتن معادلات از دو محور مختصات بر روی مرکز

برای در نظر گرفتن انتقال بار دینامیکی در خودرو (شکل ۳) به علت شتاب طولی و عرضی خودرو و همچنین انتقال سیال داخل مخزن، از یک دسته معادلات نیمه استاتیکی (Semi-Static) برای خودرو استفاده گردیده است. این معادلات نیمه استاتیکی به همراه معادلات ۸ تا ۱۱ و معادلات حاکم بر جابجایی سیال، معادلات کلی برای سیستم را تشکیل می‌دهند.

$$\bar{a}_t = (\dot{u} - \omega_t v) \bar{i} + (\dot{v} + \omega_t u) \bar{j} \quad (13)$$

$$a_s = a_t + a_{s/t} \quad (14)$$

$$a_I = a_s + a_{I/s} \quad (15)$$



شکل (۲) مدل صفحه یا خودروی لوایی

شکل (۴) دیاگرام نیروی پدال ترمز را با زمان نشان می‌دهد. ملاحظه می‌شود به علت درنظر گرفتن یک فاصله زمانی کوچک برای اعمال نیرو، در ابتدا به صورت تابع Ramp و پس از مدت کمی تابع پله‌ای می‌شود.

شکل (۵) خروجی حاصل از شبیه‌سازی را برای سرعت پیشروی خودروی لوایی تحت نیروی ترمزی مذکور و سرعت ۴۵ کیلومتر بر ساعت را نشان می‌دهد. برای این کار فرض شده که واحد کشنده و تریلر در حالت دائمی (Steady State) در مسیر دایره‌ای به شعاع ۵۰ متر حرکت و سپس با اعمال نیروی ترمزی رفتار خودرو مورد نظر است. لازم به ذکر است انتقال بار دینامیکی به علت ترمزگیری در جهت طولی در معادلات حرکت اعمال شده است.

شکل (۶) نمودار تغییرات زاویه لولا (Articulation Angle) که از خروجی‌های بسیار مهم برنامه را نشان داده که بر اساس تغییرات شتاب کاهشی ترمز (Deceleration) ارائه

۴- روش حل معادلات و بررسی نتایج

برای حل دستگاه معادلات کوپله مذکور، پارامترهای مشخصه خودرو به عنوان ورودی قرار گرفته و سپس با اعمال شرایط اولیه برای خودرو و استفاده از مدل آن، معادلات تحلیل می‌شوند. نیروهای تایرهای خودرو (نیروی اصطکاک، نیروی جانبی و نیروی عمودی) به علت تغییر پارامترهای دینامیکی سیستم، می‌بایست تصحیح شده که سبب تحلیل مجدد معادلات و محاسبه نیروها می‌گردد.

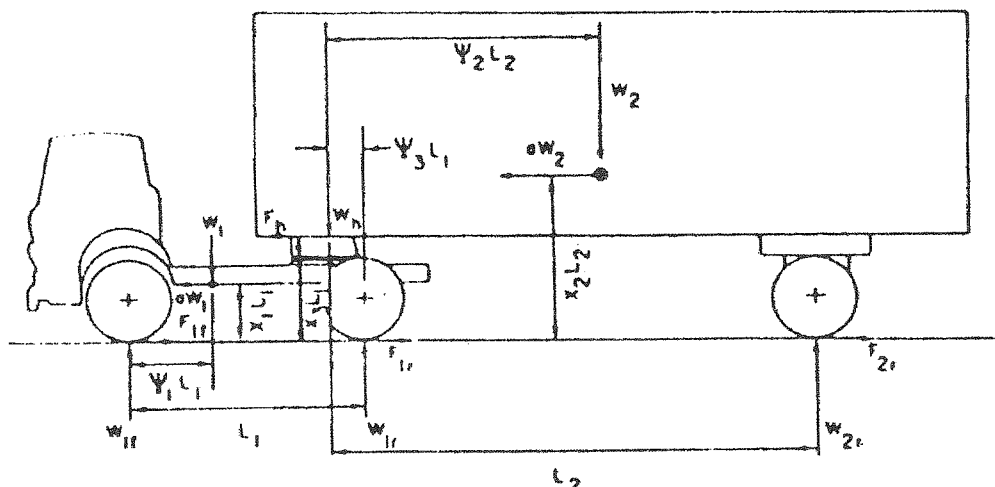
پس از صدق در شرایط پایداری جواب بهینه حاصل می‌گردد. برای انجام مراحل فوق الگوریتم کامپیوتی نوشته شده و به وسیله نرم‌افزارهای موجود ریاضی نظری MATLAB, MAPLE ماتلب، شکل‌های ۴ تا ۶ نتایج شبیه‌سازی کامپیوتی برای یک خودروی لوایی طویل مشاهده می‌شود.

پارامترهای لازم برای شبیه‌سازی (Simulation) از مدل منابع [۱-۴] استخراج، و با نمودارهای حاصل از آنها مقایسه گردیده‌اند.

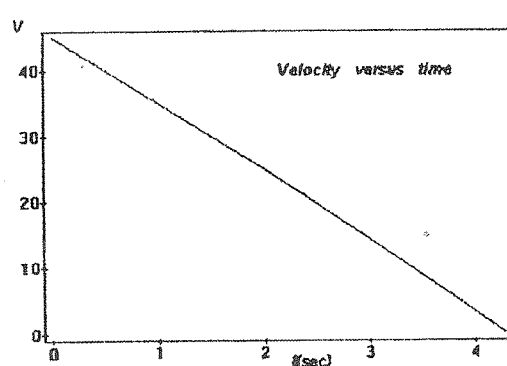
می باشد: اولاً از قفل کردن چرخ ها جلوگیری کرد، ثانیاً به تقسیم صحیح نیروی ترمزی توجه داشت. این منظور حاصل نمی شود مگر با داشتن سیستم های ضد قفل ترمزی و تعديل گر فشار هیدرولیکی ترمز، که بررسی آن توسط همین مؤلفین در حال انجام است.

شده است. مشاهده می شود در شتاب خطی خاصی، خودرو لولایی شروع به قیچی کردن کرده، که باستی تقسیم نیروی ترمزی جهت جلوگیری از این حادثه صورت پذیرد.

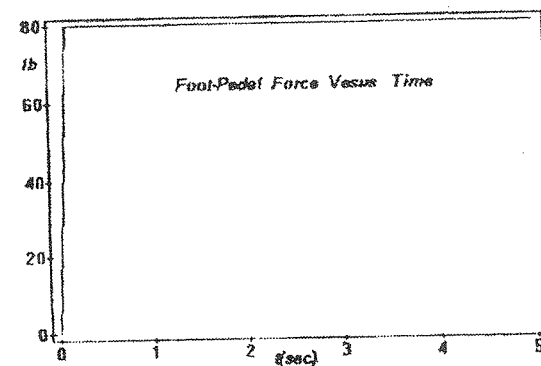
بدین ترتیب می توان گفت جهت داشتن بهترین حالت ترمزی و جلوگیری از خطر قیچی کردن و رقص ماری



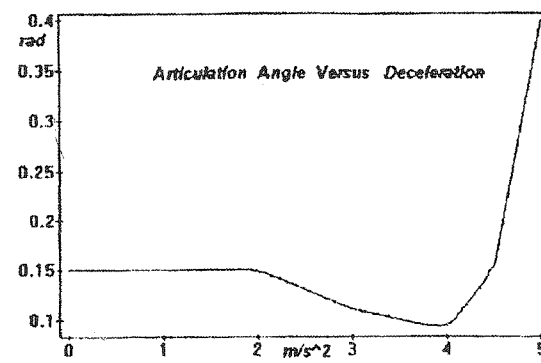
شکل (۳) خودروی لولایی در صفحه قافی



شکل (۵) سرعت پیشروی خودروی لولایی نسبت به زمان



شکل (۶) دیاگرام نیروی پدال ترمز با زمان



شکل (۶) تغییرات زاویه لولا با زمان

مراجع

- . ۱۳۷۴، ۱۲۲۳ - ۱۲۲۱
- [۵] Rakheja, S., etal, "Field Testing and Validation of Directional Dynamics Model of a Tank Truck", Int.J. of Vehicle Design. Vol.13, No. 39 pp, 251- 257, 1992.
- [۶] Strandberg, L., etal, "Safety Problem in Commercial Vehicle Handling", symp. on comm. veh. Braking and handling, Michigan, 1976.
- [۷] Popov, G., etal "Liquid Sloshing in Rectangular Roal Containers", Computers Fluids, Vol. 21, No. 4, pp. 551-569, 1992.
- [۸] Mallilarjunarao, G. and Fancher, P., "Analysis of the Directional Response Characteristics at Double Tankers", S.A.E., 1978.
- [۹] EI- Gindy, M., "Directional Response at Tractor Towing a Semitrailer", Int J. of Vehicle Design, Vol. 10, No. 2, pp. 270-226, 1989.
- [۱] اسماعیل زاده - ابراهیم، وطن آبادی - ک، «دینامیک حرکت خودروهای لوایی حامل مخازن سیال»، دومین کنفرانس سالانه انجمن مهندسان مکانیک ایران، ص - م ۸۱ - ۹۰ - ۱۳۷۲.
- [۲] اسماعیل زاده سابر ابراهیم، نیک صفت - ن، بهرامپوری - ح، «بررسی پایداری و پاسخ دینامیکی خودروهای لوایی حامل سیال»، پایان نامه کارشناسی، دانشکده مکانیک، دانشگاه صنعتی شریف، ص - پ - ۱۳۷۴، ۱۲۸ - ۸۳
- [۳] اسماعیل زاده - ابراهیم، نیک صفت - ن، بهرامپوری - ح، «بررسی پاسخ دینامیکی و پایداری خودروهای لوایی حامل سیال با صفحات عرضی»، کارنامه پژوهشی، دانشگاه صنعتی شریف، ۱۳۷۲.
- [۴] اسماعیل زاده - ابراهیم، نیک صفت - ن، بهرامپوری - ح، «بررسی واژگونی خودروهای حامل سیال با صفحات عرضی در مخزن»، سومین کنفرانس سالانه انجمن مهندسان مکانیک ایران، ص - م